

3. Исследовано влияние нерасчетности на энергетические характеристики лазера.

Авторы благодарят Т. А. Бунгову, Г. Н. Волчкову за помощь в работе и В. А. Поспелова, М. Х. Стрельцова, М. Л. Шура за полезные обсуждения.

Поступила в редакцию 12/IV 1983

ЛИТЕРАТУРА

1. G. Emanuel, N. Cohen, T. Jacobs. J. Quant. Spectr. Rad. Transfer, 1973, 13, 1341.
2. W. S. King, H. Mirels. AIAA Paper, 1972, № 146.
3. В. Г. Крутова, А. И. Ораевский, А. А. Степанова и др. Квантовая электроника, 1976, 3, 1919.
4. В. И. Головичев, Н. Г. Преображенский. ФГВ, 1977, 13, 3, 366.
5. J. D. Ramshaw, R. C. Miolsness, O. A. Farmer. J. Quant. Spectr. Rad. Transfer. 1977, 17, 149.
6. А. В. Лавров, В. А. Поспелов. Изв. АН СССР. МЖГ, 1978, 3, 95.
7. А. В. Лавров, В. А. Поспелов, А. В. Федотов и др. ФГВ, 1979, 15, 1, 89.
8. В. И. Головичев, А. А. Яник.— В кн.: Исследование рабочего процесса газодинамических и химических лазеров. Новосибирск: ИТПМ, 1979.
9. А. А. Степанов, В. А. Щеглов. Квантовая электроника, 1979, 6, 747.
10. В. А. Поспелов, М. Л. Шура.— В кн.: Теплообмен в химически реагирующих системах. Минск: ИТМО, 1980.
11. W. L. Hendricks, R. R. Mikatarijan, B. J. Gross a. o. AIAA Paper, 1981, N 1133.
12. Ю. В. Лапин, М. Х. Стрелец, М. Л. Шура. ФГВ, 1982, 2, 5, 89.
13. В. А. Поспелов. ЧММСС, 1982, 13, 99.
14. Т. А. Бунгова, А. В. Лавров, С. С. Харченко. Изв. АН СССР. МЖГ, 1982, 3, 18.
15. W. L. Hendricks, S. C. Kurzins. AIAA Paper, 1977, N 656.
16. В. М. Ковеня, С. Г. Черный. ЧММСС, 1978, 10, 71.
17. Ю. П. Головачев, А. А. Фурсенко. Препринт ЛФТИ, № 734, 1981.
18. С. А. Лосев. Газодинамические лазеры. М.: Наука, 1977.
19. Н. П. Яненко. Метод дробных шагов решения многомерных задач математической физики. Новосибирск: Наука, 1967.
20. Е. П. Бондарев, А. П. Горина. Изв. АН СССР. МЖГ, 1968, 4, 17.
21. Г. П. Волčkova, А. В. Лавров, С. С. Харченко. ТВТ, 1981, 6, 1198.
22. Б. М. Павлов. Изв. АН СССР. МЖГ, 1968, 4, 57.
23. Н. Ханг, Г. Маккормак. РТК, 1976, 4, 73.
24. П. Роуч. Вычислительная гидродинамика. М.: Мир, 1980.

О РЕЖИМАХ КОНВЕКЦИИ И ТЕПЛОПЕРЕНОСА В ВЕРТИКАЛЬНОМ СЛОЕ РЕАГИРУЮЩЕЙ СРЕДЫ

Е. А. Еремин
(Пермь)

В плоском вертикальном слое жидкости или газа, ограниченном изотермическими плоскостями, при наличии реакции нулевого порядка возникает плоскопараллельное конвективное течение, состоящее из восходящего вдоль оси слоя и двух нисходящих вдоль границ потоков жидкости [1]. Распределение температуры поперек слоя определяется при этом решением известной задачи Франк-Каменецкого. Такой режим конвекции существует при любых значениях параметра Франк-Каменецкого FK , не превышающих некоторого критического FK_0 , характеризующего порог теплового взрыва. Однако при достаточно большом значении второго характерного параметра задачи — числа Грасгофа Gr , определяющего интенсивность движения, стационарное плоскопараллельное конвективное течение становится неустойчивым и сменяется вторичным движением, имеющим структуру дрейфующих вдоль границ раздела потоков цепочек вихрей. Исследование устойчивости плоскопараллельного течения по отношению к малым возмущениям проведено в [1, 2].

При $FK > FK_0$ постановка линейной задачи устойчивости теряет смысл, поскольку основной плоскопараллельный режим невозможен. Тем не менее развитие конвективных возмущений конечной амплитуды в не-

которой области $FK_0 < FK < FK_*$ (Gr) может в принципе привести к увеличению теплопередачи и предотвратить тепловой взрыв (FK_* — порог теплового взрыва). Поэтому для решения вопроса о режимах теплопереноса и конвекции в области $FK > FK_0$ необходимо решение полных нелинейных уравнений конвекции реагирующей среды. Такое исследование проводится в настоящей работе.

Рассмотрим бесконечный слой реагирующей жидкости, ограниченный двумя параллельными вертикальными плоскостями $x = \pm h$. Границы слоя твердые и поддерживаются при одинаковой постоянной температуре T_0 . Во всем объеме в результате реакции нулевого порядка выделяется тепло, которое учитывается в уравнении теплопроводности в виде источников мощностью $q = Qk_0 \exp(-E/RT)$, где T — температура; R — газовая постоянная; Q , k_0 , E — заданные константы реакции (тепловой эффект, предэкспоненциальный множитель и энергия активации соответственно).

Для описания процесса используем уравнения конвекции в приближении Буссинеска [3]. Из линейного анализа устойчивости следует, что наиболее опасными являются плоские возмущения; поэтому будем рассматривать плоскую задачу. Введем функцию тока, связанную с компонентами скорости v_x и v_z соотношениями $v_x = -\partial\psi/\partial z$ и $v_z = \partial\psi/\partial x$. Тогда, исключив из уравнения Навье — Стокса давление, получим для функции тока ψ и температуры T , отсчитываемой от T_0 , следующую систему безразмерных уравнений:

$$\begin{aligned} \frac{\partial \Delta \psi}{\partial t} + Gr \left(\frac{\partial \psi}{\partial x} \frac{\partial \Delta \psi}{\partial z} - \frac{\partial \psi}{\partial z} \frac{\partial \Delta \psi}{\partial x} \right) &= \Delta \Delta \psi - \frac{\partial T}{\partial x}, \\ \frac{\partial T}{\partial t} + Gr \left(\frac{\partial \psi}{\partial x} \frac{\partial T}{\partial z} - \frac{\partial \psi}{\partial z} \frac{\partial T}{\partial x} \right) &= \frac{1}{Pr} (\Delta T + FK \exp T) \end{aligned} \quad (1)$$

(при написании уравнения теплопроводности слагаемое с источниками преобразовано согласно известному методу разложения экспоненты [4]). В качестве единиц измерения длины, времени, скорости, температуры и давления приняты соответственно h , h^2/ν , $g\beta h^2 RT_0^2/E\nu$, RT_0^2/E , $\rho_0 g\beta h RT_0^2/E$. Сформулированная задача содержит три безразмерных параметра: $FK = Qk_0 h^2 E \exp(-E/RT_0)/\chi RT_0^2$ — параметр Франк-Каменецкого; $Gr = g\beta h^3 RT_0^2/E\nu$ — число Грасгофа; $Pr = \nu/\chi$ — число Прандтля, где χ , ν , χ , β , ρ_0 — коэффициенты теплопроводности, кинематической вязкости, температуропроводности, объемного расширения и плотность.

Уравнения (1) необходимо дополнить условиями на твердых изотермических границах

$$x = \pm 1: T = 0, \psi = 0, \partial\psi/\partial x = 0. \quad (2)$$

При $FK < FK_0$ задача (1), (2) допускает стационарные решения в виде плоскопараллельного конвективного течения, подробно исследованного в [1]. Поперечный теплоперенос при таком движении остается чисто кондуктивным, поэтому применима стационарная теория теплового взрыва [4], в соответствии с которой при $FK < FK_0 \approx 0,88$ возможны два режима переноса тепла. Решение с большей температурой абсолютно неустойчиво, поэтому рассматриваться не будет. Таким образом, в этой области изменения параметра Франк-Каменецкого реализуется стационарное плоскопараллельное конвективное течение, в котором нагретая жидкость поднимается в центре слоя, а охлажденная опускается вдоль его границ. Устаивающийся при этом параболический профиль температуры совпадает с ее распределением в неподвижной реагирующей среде и для не слишком интенсивных течений не зависит от числа Gr .

С ростом Gr плоскопараллельное течение теряет устойчивость и возникает вторичное движение, искажающее температурное поле. Граница этого перехода определяется кривой нейтральной устойчивости относи-

тельно малых нормальных возмущений, найденной для различных значений числа Pr в [2]. Там же рассмотрена зависимость минимальных критических чисел Грасгофа Gr_{min} от параметра Франк-Каменецкого.

Как уже отмечалось, для определения характера протекания реакции при $FK > FK_0$, необходимо решение полной нелинейной задачи. Так как слой имеет бесконечную протяженность вдоль оси z , а коэффициенты уравнений (1) и граничные условия (2) от этой координаты не зависят, будем рассматривать пространственно-периодические вдоль оси z решения с длиной волны $\lambda = 2\pi/k$. Значение волнового числа k примем в районе минимума нейтральной кривой: как следует из линейной теории [2], k_{min} очень слабо зависит от параметров задачи (для случая $Pr = 1$, в частности, $k_{min} \approx 1,4$). Расчетной областью в этом случае является прямоугольник $-1 \leq x \leq 1$ и $0 \leq z \leq \lambda$.

После введения вихря скорости уравнения (1) записывались в конечно-разностной форме. Все пространственные производные аппроксимировались центральными разностями, а производные по времени представлялись разностями вперед. Значения переменных на новом временном слое находились по явной схеме, уравнение Пуассона для функции тока решалось итерационно методом последовательной верхней релаксации (обычно с относительной точностью 10^{-4}). Для основных расчетов использовалась сетка 20×23 .

Экспоненциальное слагаемое с тепловыми источниками вычислялось на предыдущем временном слое. Применялось, кроме того, следующее выражение для этого слагаемого:

$$\exp T^{n+1} = \exp (T^n + \Delta T) \approx (1 + \Delta T) \exp T^n,$$

где верхний индекс обозначает номер временного слоя, а $\Delta T = T^{n+1} - T^n$. Такое представление тепловых источников, не нарушающее явности разностной схемы, практически не меняло установившегося решения.

Условия периодизма на горизонтальных границах конвективной ячейки $z = 0$ и $z = \lambda$ удовлетворялись путем введения дополнительного ряда узлов сетки, который соответствовал координате $z = \lambda + h_z$ (h_z — шаг сетки в направлении z). При этом на каждом шаге по времени требовалось выполнение соотношений вида $F(x, 0) = F(x, \lambda)$ и $F(x, \lambda + h_z) = F(x, h_z)$, где под F подразумевается температура, вихрь скорости или функция тока, причем для последней граничные условия подправлялись после каждой итерации. Для вихря скорости на твердых границах использовались условия Тома или Кусковой (см., например, [5]). Различие между обеими аппроксимациями было порядка сеточной погрешности.

Все расчеты проводились при $Pr = 1$, что соответствует случаю реагирующих газов.

Сравнение результатов нелинейных расчетов границы устойчивости основного плоскопараллельного режима со значениями критических чисел Грасгофа, полученными на основе линейной теории в [2], дало вполне удовлетворительное совпадение. Так, например, для $FK = 0,8$ при сетке 10×23 имеется различие около 4%. К таким же погрешностям приводит варьирование пространственного шага сетки. Лишь в области $FK \approx FK_0$, где наблюдаются наибольшие вычислительные трудности и реализуется самая медленная сходимость, несовпадение между линейной и нелинейной теориями превысило 7%. Структура получающегося вторичного течения также хорошо согласуется с данными работ [1, 2]. На рис. 1 приведены в качестве примера изолинии функции тока и температуры для $Gr = 500$ и $FK = 1$ в некоторый момент времени. Движение представляет собой систему вихрей, расположенных вдоль слоя в шахматном порядке. Возникает дополнительный поперечный теплоперенос, поэтому изотермы оказываются искривленными — в областях интенсивного движения реагирующая среда охлаждается. Отметим, что приведенная на рис. 1 картина не является стационарной — неустойчивость вызвана «бегущими» возмущениями.

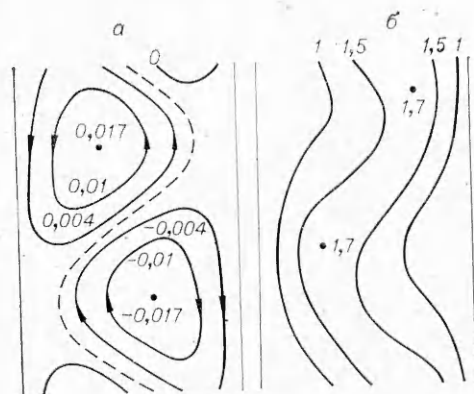


Рис. 1. Изолинии функции тока (а) и температуры (б) для вторичного течения в вертикальном слое. Цифры соответствуют значениям переменных на изолиниях, точками отмечены положения максимумов. Нулевая изолиния функции тока нанесена штриховой линией.

Для описания конвекции и теплопереноса в слое при наличии химической реакции удобно следить за максимальным разогревом T_{\max} при фиксированном значении Gr. Получающееся в этом случае семейство кривых $T_{\max}(FK)$ для различных чисел Gr приведено на рис. 2. Линия 1 отвечает стационарному плоскопараллельному течению и совпадает с соответствующей зависимостью для экзотермической реакции в неподвижной среде [4]; при $FK \approx 0,88$ кривая имеет конечную точку. Расчеты показывают, что это совпадение сохраняется до $Gr_* \approx 450$, пока рассматриваемое течение устойчиво. Если $Gr > Gr_*$, то для малых FK состояние системы по-прежнему определяется кривой 1, однако при достаточно интенсивном тепловыделении основное стационарное течение оказывается неустойчивым и сменяется нестационарным вторичным движением. При этом от кривой 1 ответвляется линия $T_{\max}(FK)$, характеризующаяся меньшим разогревом (для $Gr = 500$, например, это линия 2). Сравнение линий 2, 3 и 4 на рис. 2, соответствующих $Gr = 500, 1000$ и 2000, показывает, что, чем выше выбранное число Gr, тем при меньшем значении FK происходит такой переход.

С ростом Gr интенсивность перемешивания среды увеличивается, поэтому условия теплопереноса в слое становятся близкими к случаю однородного тепловыделения в нереагирующей жидкости. Такая задача рассматривалась в [6, 7]; соответствующая зависимость показана на рис. 2 штриховой линией, которая при $FK < 1$ практически совпадает с результатами расчетов для $Gr = 5000$ (кривая 5).

Охлаждение реагирующей среды при установлении вихревого вторичного движения приводит к тому, что оно оказывается возможным при $FK > FK_0$. Хотя плоскопараллельное решение с $k = 0$ по-прежнему удовлетворяет уравнениям (1), учет нелинейных членов позволяет получить другое решение с конечными значениями поля температур, которое и реализуется в расчетах при $FK_0 < FK < FK_*(Gr)$. Порог теплового взрыва, таким образом, оказывается сдвинутым в сторону больших значений параметра FK. Сдвиг этот с ростом Gr увеличивается и может быть значительным — при $Gr = 2000$, например, FK_* превышает FK_0 в 1,6 раза. При больших Gr зависимость $FK_*(Gr)$ близка к линейной.

Обработка результатов расчетов с помощью метода наименьших

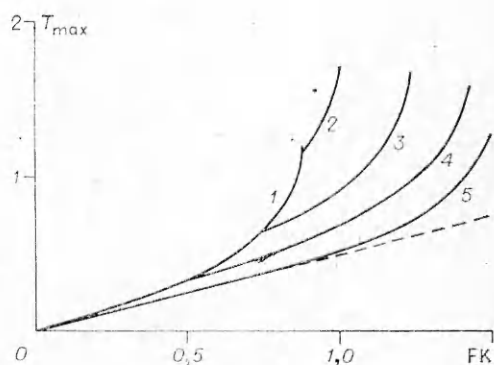


Рис. 2. Зависимость максимальной температуры в слое от параметра FK.

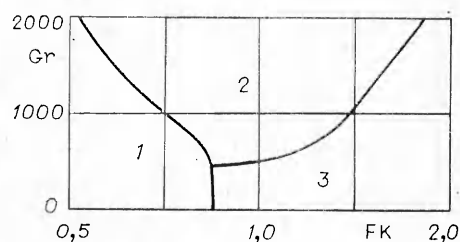


Рис. 3. Диаграмма режимов на плоскости параметров Gr и FK. (Граница между областями 1 и 3 — вертикальная прямая.)

квадратов позволила для $Gr \geq 450$ получить формулу

$$FK_* = 0,88 + 0,0218 (Gr - 450)^{0,437},$$

которая дает погрешность аппроксимации не более 1% во всех полученных точках.

Отметим, что зависимость порога теплового взрыва от интенсивности конвекции рассматривалась ранее только для движений, возникающих в результате неустойчивости равновесия [8—10]. В случае потери устойчивости конвективного течения, исследованного в настоящей работе, порог теплового взрыва также оказывается зависимым от интенсивности вторичного течения.

На основе результатов решения линейной и нелинейной задач можно построить в плоскости (FK, Gr) диаграмму режимов, определяющую характер протекания экзотермической реакции нулевого порядка (при $Pr = 1$). На диаграмме рис. 3 указаны области существования трех режимов конвекции и теплопереноса: 1 — стационарное плоскопараллельное течение, состоящее из трех встречных потоков [1]. Профиль температуры совпадает с чисто теплопроводным, применима стационарная теория теплового взрыва; 2 — нестационарное вихревое вторичное движение, представляющее собой расположенную в шахматном порядке систему вихрей, бегущих вдоль слоя (см. рис. 1); 3 — тепловой взрыв. Разогрев, вызванный сильной экзотермической реакцией, настолько велик, что механизмы теплопроводности и конвективного теплопереноса, обусловленного имеющимся в этой области интенсивным поперечным движением, уже недостаточны для компенсации тепловыделения — происходит лавинообразное самоускорение реакции.

Таким образом, проведенное численное решение полных нелинейных уравнений конвекции для случая реакции нулевого порядка показывает, что при достаточно больших числах Gr в слое возникает нестационарное вихревое движение с дополнительным по сравнению с теплопроводным режимом поперечным переносом тепла. Происходящее при этом охлаждение среды приводит к существенному сдвигу порога теплового взрыва FK_* в область большей интенсивности тепловыделения.

Автор благодарит Е. М. Жуховицкого за руководство работой.

Поступила в редакцию 18/IV 1983

ЛИТЕРАТУРА

1. Е. А. Еремин. — В кн.: Конвективные течения. Вып. 2. Пермь, 1981.
2. Е. А. Еремин. Изв. АН СССР. МЖГ, 1983, 3, 123.
3. Г. З. Гершуни, Е. М. Жуховицкий. Конвективная устойчивость несжимаемой жидкости. М.: Наука, 1972.
4. Д. А. Франк-Каменецкий. Диффузия и теплопередача в химической кинетике. М.: Наука, 1967.
5. Б. М. Берковский, Е. Ф. Ноготов. Разностные методы исследования задач теплообмена. Минск: Наука и техника, 1976.
6. Г. З. Гершуни, Е. М. Жуховицкий, А. А. Якимов. ПММ, 1970, 34, 4.
7. Г. З. Гершуни, Е. М. Жуховицкий, А. А. Якимов. ПММ, 1973, 37, 3.
8. А. Г. Мержанов, Э. А. Штессель. ФГВ, 1971, 7, 1.
9. Э. А. Штессель, К. В. Прибыткова, А. Г. Мержанов. ФГВ, 1971, 7, 2.
10. D. R. Lones. Int. J. Heat and Mass Transf., 1973, 16, 1.